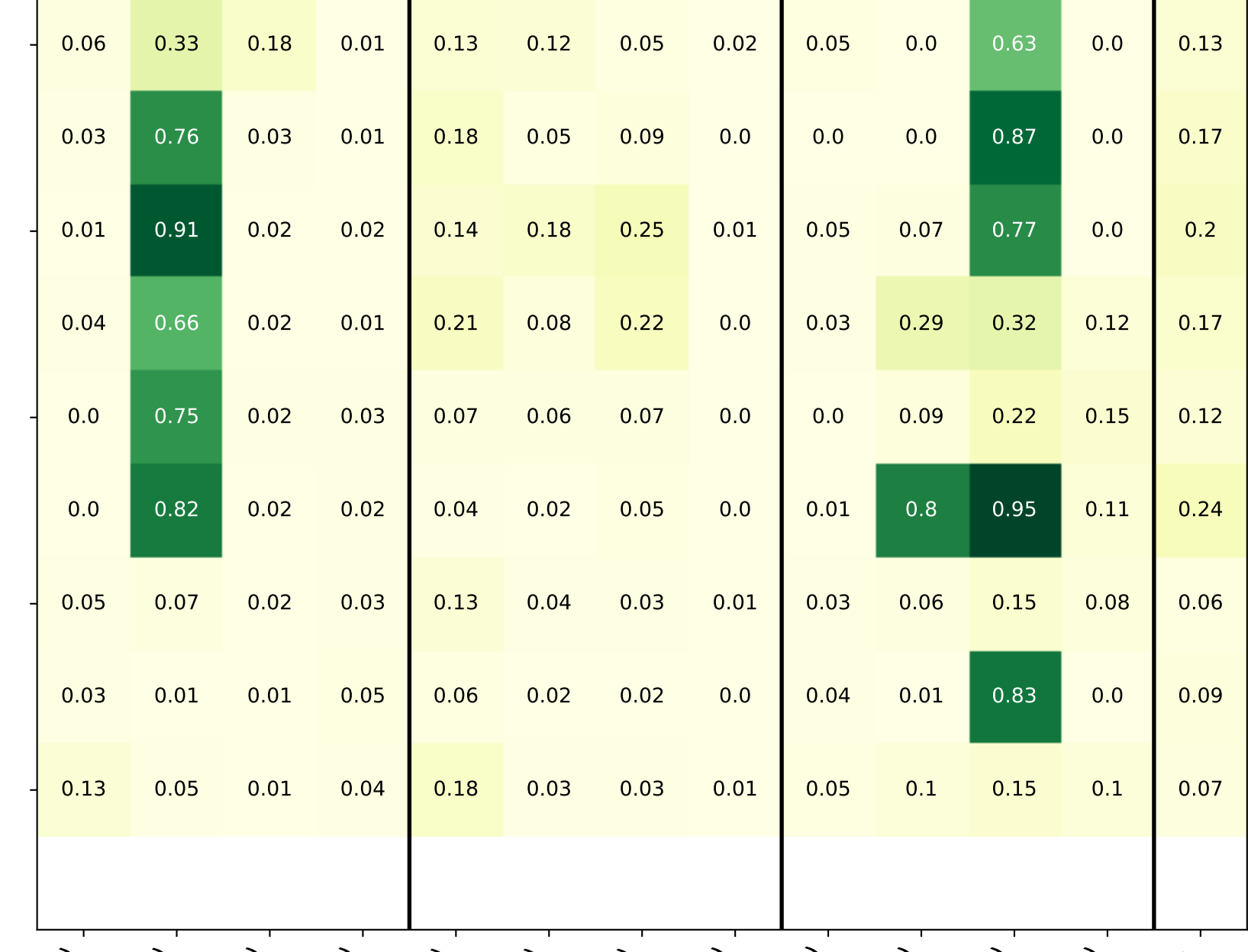
	Human Evaluators												
TABOR-	0.12	0.15	0.04	0.47	0.28	0.32	0.45	0.03	0.01	0.08	0.12	0.13	0.18
Inner Fourier FV	0.03	0.24	0.06	0.09	0.3	0.14	0.26	0.01	0.06	0.06	0.1	0.07	0.12
Target Fourier FV-	0.12	0.19	0.11	0.05	0.35	0.02	0.14	0.02	0.1	0.04	0.11	0.17	0.12
Inner CPPN FV -	0.31	0.64	0.19	0.03	0.14	0.08	0.18	0.0	0.39	0.47	0.29	0.17	0.24
Target CPPN FV-	0.97	0.75	0.73	0.01	0.21	0.0	0.01	0.0	0.83	0.69	0.25	0.04	0.37
Adv. Patch-	0.26	0.54	0.63	0.49	0.22	0.03	0.33	0.14	0.9	0.01	0.03	0.06	0.3
RFLA-Perturb -	0.62	0.93	0.37	0.1	0.01	0.16	0.06	0.26	0.98	0.61	0.99	0.61	0.47
RFLA-Gen -	0.71	0.1	0.16	0.69	0.04	0.43	0.0	0.03	0.01	0.96	1.0	0.86	0.42
SNAFUE -	0.34	0.67	0.04	0.09	0.11	0.08	0.0	0.21	0.71	0.97	0.96	0.45	0.39
AII -		0.73	0.55	0.35	0.12	0.04	0.07	0.07	0.88	0.94	0.96	0.45	0.49
Smiley Emoil Patch) Patch) Patch) Patch Patch Patch Style Style Style Style Style Style Reature I page of Style I pay the proof of the patch of the													

CLIP (Radford et al., 2021)



noil Patchil Patchil Patchil Patchil Style Style Style Style Style Style Reature Feature Feature Feature Clountish Patchil Patchil Patchil Feature Fea